

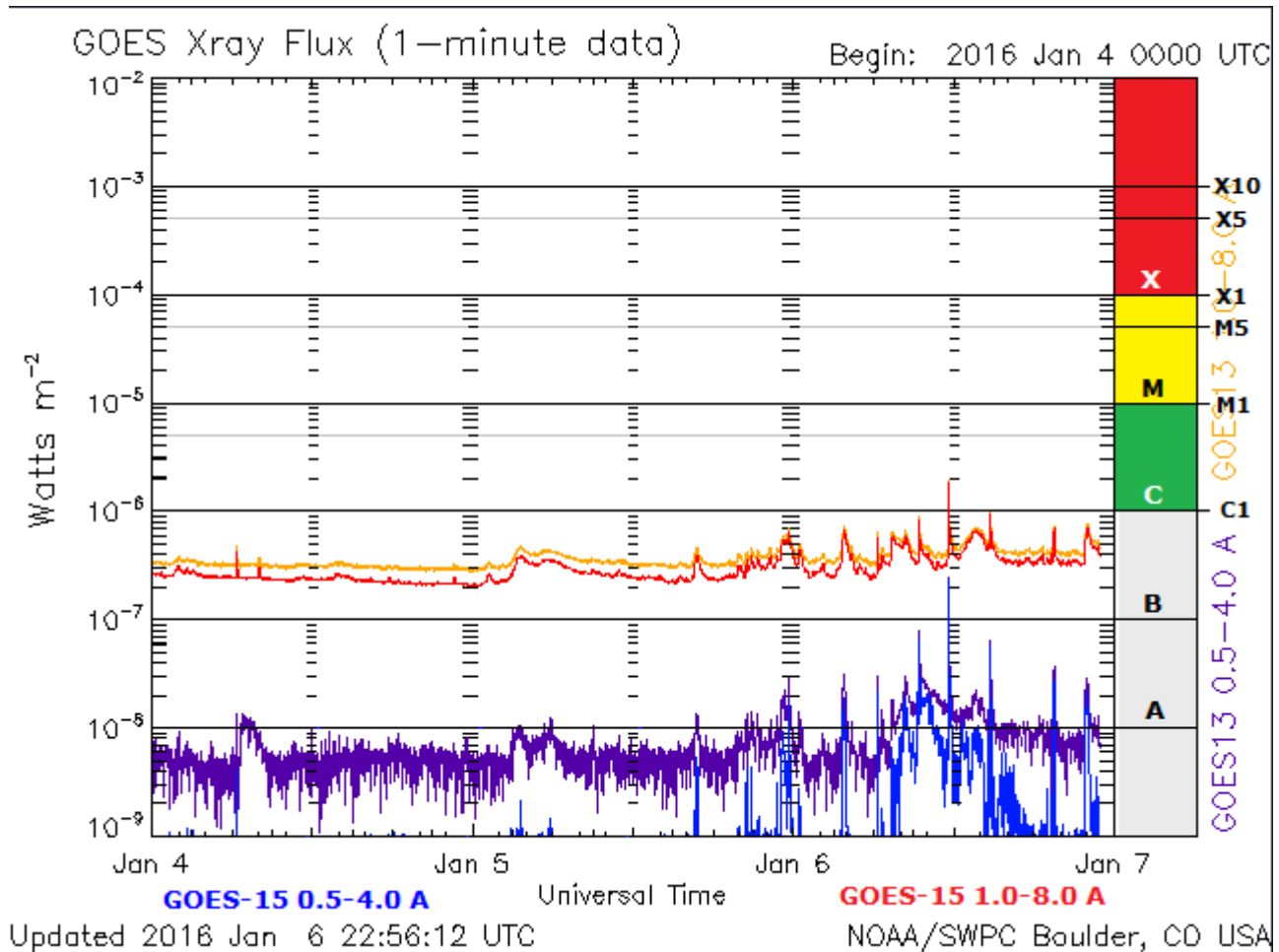
NOWCASTING SOLARE 06 GENNAIO 2016

Nowcasting solare, sommario delle ultime 24 ore: Attività solare che nella giornata di oggi 06 Gennaio è rimasta a livelli molto bassi.

La Regione 2477 (N12E19, HSX / alfa), è rimasta inattiva. La nuova Regione 2480 ha prodotto un debole Brillamento di classe C 1.8 alle ore 11.37 UTC.

Nessuna espulsione di massa coronale (CMe) diretta verso la terra.

Previsioni prossime 72 ore: L'attività solare dovrebbe restare molto bassa con delle piccole possibilità di brillamenti di classe C per i prossimi tre giorni (07-09 gennaio).



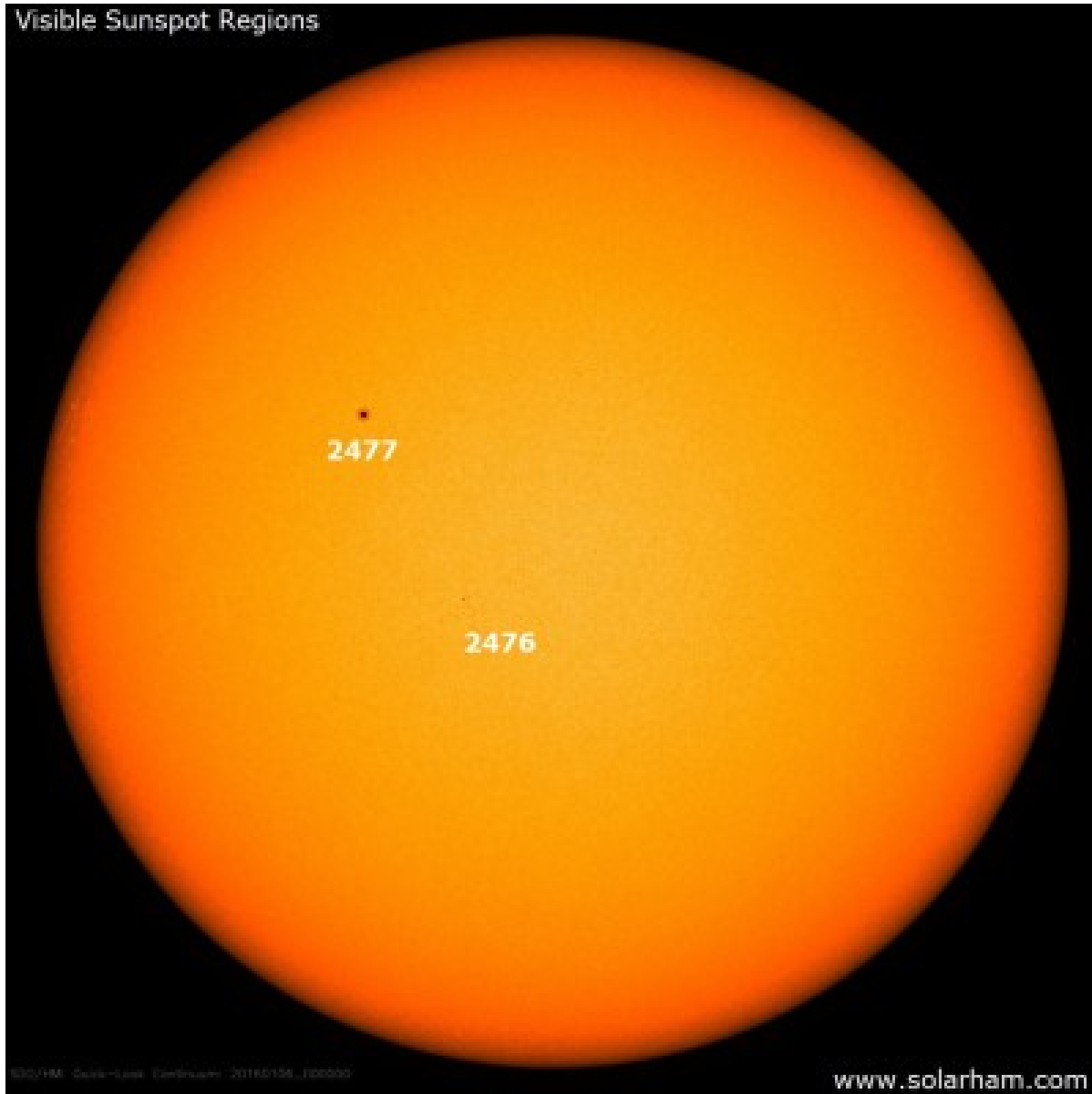
Il grafico dei [Raggi X](#) negli ultimi tre giorni

Ne consegue che:

Alle ore 08.00 UTC, il disco solare visibile presentava due [regioni attive](#) (in risoluzione 2K dalle immagini SDO/HMI Continuum):

Num count	Lat., class	CMD	Long.	Area	Extent	class
2476	S10E06	202	30	6	CR0	8 B
2477	N12E19	189	70	2	HSX	1 A

Visible Sunspot Regions



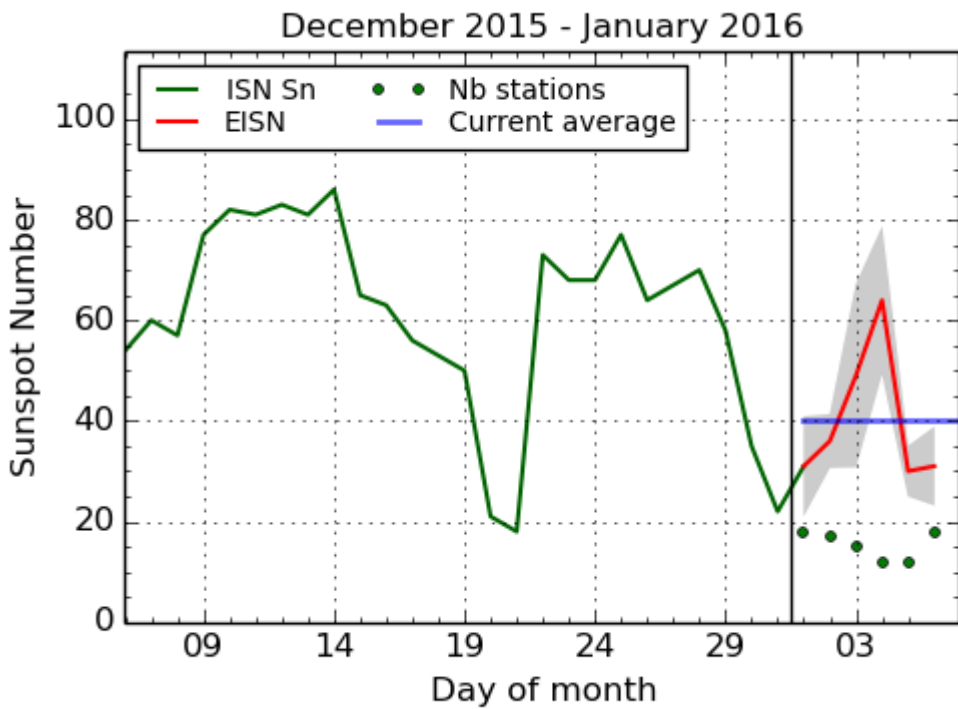
Il campo geomagnetico solare nel corso delle ultime 24 ore è risultato in stato "QUIET" mentre i [Raggi X](#) in stato "NORMAL"

La velocità del flusso solare (2,8 GHz) alle ore 20,00 del 06 Gennaio è risultata a 100.2 – (95.2)

La media mensile del flusso solare ad oggi risulta di 98.5 – (98.1)

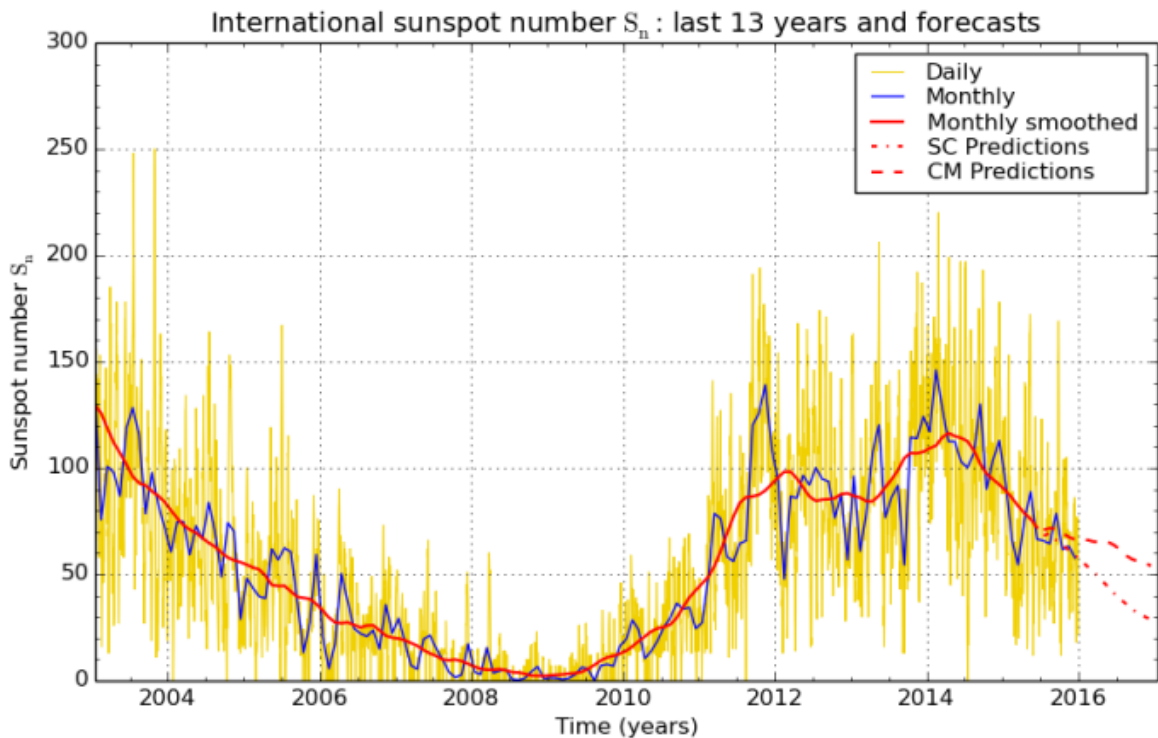
Il conteggio delle macchie solari (conteggio SILSO) del 06 Gennaio è risultato di 31 – (30) macchie.

La media mensile delle macchie solari ad oggi risulta di 42.5 – (44.8) SSN



SILSO graphics (<http://sidc.be/silso>) Royal Observatory of Belgium, 2016 January 6

Il conteggio delle macchie solari (SILSO) nell'ultimo mese



SILSO graphics (<http://sidc.be/silso>) Royal Observatory of Belgium 2016 January 1

L'andamento dell'[attività solare](#) negli ultimi 13 anni e forecast (linea tratteggiata). Grafico del centro di conteggio SILSO

La media mensile dell'indice Ap è risultata nella giornata di ieri di 9.0

La velocità del vento solare attuale è di 556.0 Km/s

La densità del vento solare attuale è di 2.4 protons/cm³

L'indice A attuale è di 16

L'indice K attuale è di 3

Il flusso dei [raggi X](#) attuale risulta di classe B 4.7

La componente [BZ](#) attuale è di 0.4 nT

Il conteggio delle macchie solari con il metodo del Layman's sunspot count (gestito da Geoff Sharp), nella giornata del 04 Gennaio, alle ore 08:00 (ultimo aggiornamento disponibile) è risultato con un conteggio di 22 macchie che portano la media mensile a 17 (SSN).

Il mese di Novembre 2015 ha totalizzato 9 giorni SPOTLESS.

Il mese di Dicembre 2015 ha totalizzato 2 giorni SPOTLESS.

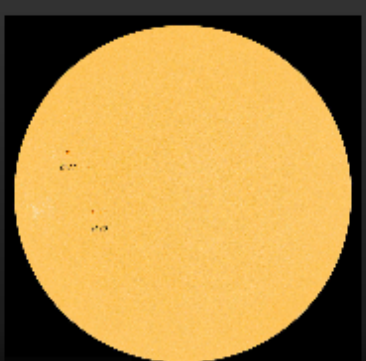
Il mese di Gennaio 2016 ha totalizzato fino a questo momento 0 giorni SPOTLESS

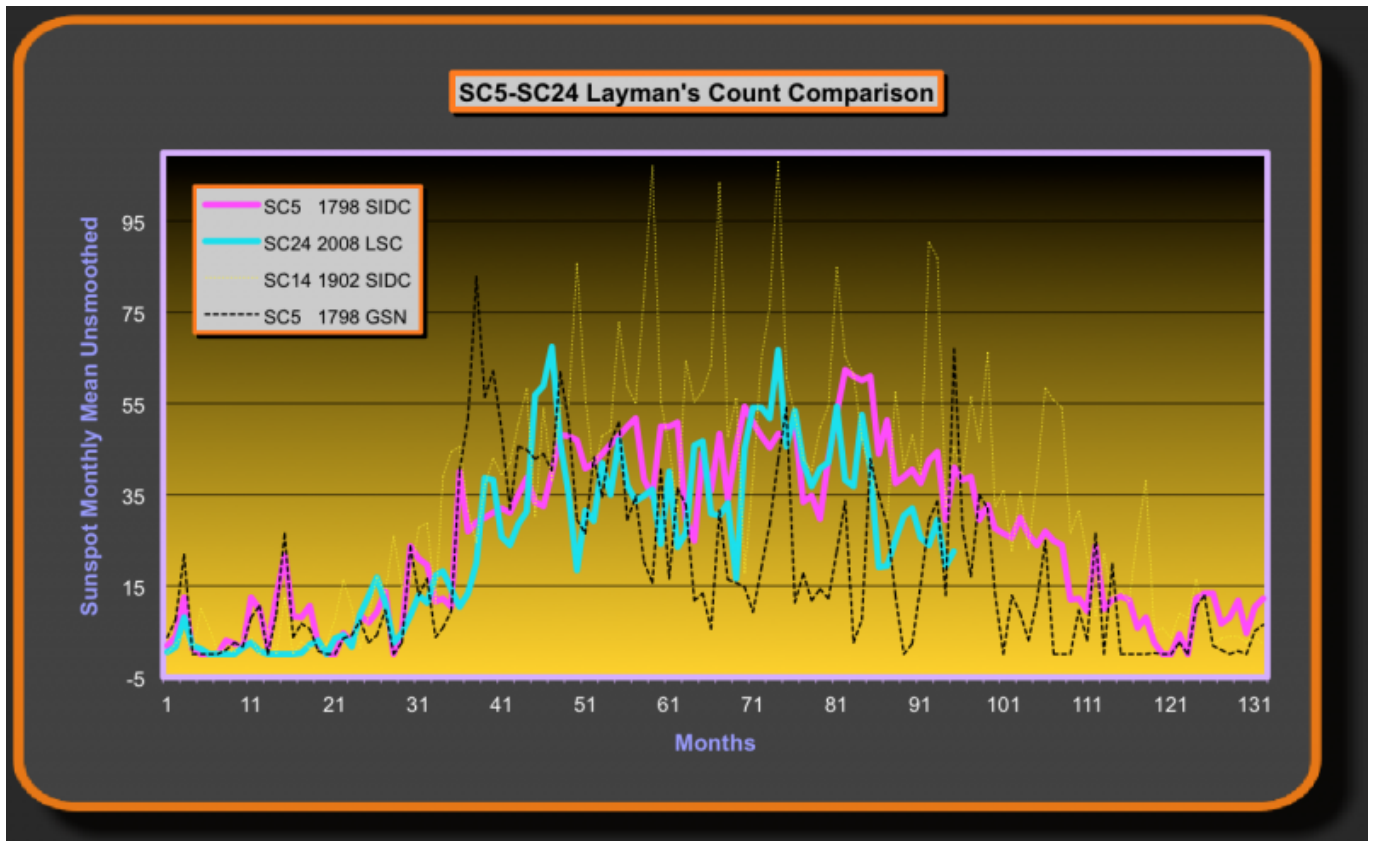
Emisfero Nord Giorni Spotless: 1

Emisfero Sud Giorni Spotless: 1

LSC Daily	Draw Ref.	SILSO	LSC Mov Avg.
22	Manual	--	17

NOAA Region #	Pixels	Darkness
2477	1422 (1043)	54% (57%)
2476	919 (1392)	65% (66%)
F10.7 flux		Date/Time UTC
92.2 (98.5)		2016/01/04 08:00





Confronto tra i due cicli, il ciclo 5 (minimo di Dalton colore fucsia) e il ciclo 24 (ciclo attuale colore azzurro) per il metodo di conteggio del Layman's

Ultimo aggiornamento del Campo Magnetico Polare del 04 Gennaio 2016

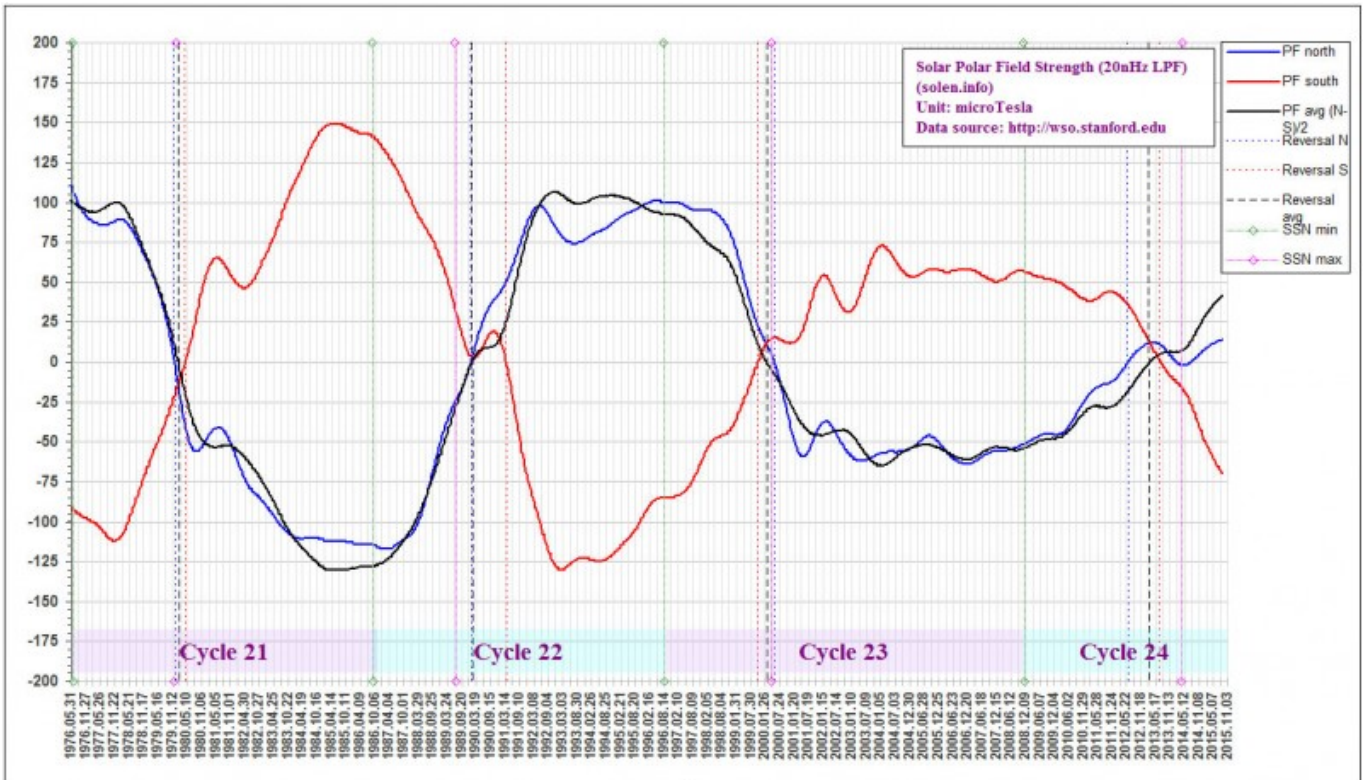
Come nostra consuetudine diamo uno sguardo all'ultimo aggiornamento del campo magnetico solare, dati raccolti dal prestigioso Osservatorio di Wilcox Solar Observatory (WSO) dell'Università di Stanford.

Il dati aggiornati al 04 Gennaio 2016 e che fanno riferimento al 13 Dicembre 2015, mettono ancora una volta in evidenza come l'emisfero nord abbia ormai intrapreso un andamento molto lento. In questo aggiornamento l'emisfero nord rimane stabile a 20Nf. Al contrario avanza l'emisfero sud che si porta a -76Sf. Anche il valore mediato avanza di 2 punti portandosi a 48Avgf.

2015:02:26_21h:07m:13s	8N	-51S	29Avg	20nhz	filt:	10Nf	-54Sf	32Avgf
2015:03:08_21h:07m:13s	17N	-50S	33Avg	20nhz	filt:	11Nf	-56Sf	33Avgf
2015:03:18_21h:07m:13s	27N	-49S	38Avg	20nhz	filt:	11Nf	-57Sf	34Avgf
2015:03:28_21h:07m:13s	24N	-52S	38Avg	20nhz	filt:	11Nf	-58Sf	35Avgf
2015:04:07_21h:07m:13s	15N	-56S	36Avg	20nhz	filt:	12Nf	-59Sf	35Avgf
2015:04:17_21h:07m:13s	11N	-59S	35Avg	20nhz	filt:	12Nf	-60Sf	36Avgf
2015:04:27_21h:07m:13s	13N	-61S	37Avg	20nhz	filt:	13Nf	-61Sf	37Avgf
2015:05:07_21h:07m:13s	16N	-64S	40Avg	20nhz	filt:	13Nf	-62Sf	38Avgf
2015:05:17_21h:07m:13s	15N	-66S	41Avg	20nhz	filt:	14Nf	-63Sf	38Avgf
2015:05:27_21h:07m:13s	12N	-80S	46Avg	20nhz	filt:	14Nf	-64Sf	39Avgf
2015:06:06_21h:07m:13s	6N	-76S	41Avg	20nhz	filt:	14Nf	-65Sf	40Avgf
2015:06:16_21h:07m:13s	5N	-75S	40Avg	20nhz	filt:	15Nf	-66Sf	40Avgf
2015:06:26_21h:07m:13s	5N	-74S	40Avg	20nhz	filt:	15Nf	-66Sf	41Avgf
2015:07:06_21h:07m:13s	10N	-74S	42Avg	20nhz	filt:	15Nf	-67Sf	41Avgf
2015:07:16_21h:07m:13s	13N	-74S	43Avg	20nhz	filt:	16Nf	-68Sf	42Avgf
2015:07:26_21h:07m:13s	13N	-69S	41Avg	20nhz	filt:	16Nf	-69Sf	42Avgf
2015:08:05_21h:07m:13s	12N	-66S	39Avg	20nhz	filt:	16Nf	-69Sf	43Avgf
2015:08:15_21h:07m:13s	14N	-63S	38Avg	20nhz	filt:	17Nf	-70Sf	43Avgf
2015:08:25_21h:07m:13s	17N	-64S	40Avg	20nhz	filt:	17Nf	-70Sf	44Avgf
2015:09:04_21h:07m:13s	19N	-67S	43Avg	20nhz	filt:	17Nf	-71Sf	44Avgf
2015:09:14_21h:07m:13s	19N	-68S	44Avg	20nhz	filt:	18Nf	-71Sf	44Avgf
2015:09:24_21h:07m:13s	20N	-70S	45Avg	20nhz	filt:	18Nf	-72Sf	45Avgf
2015:10:04_21h:07m:13s	22N	-71S	47Avg	20nhz	filt:	18Nf	-73Sf	45Avgf
2015:10:14_21h:07m:13s	24N	-64S	44Avg	20nhz	filt:	18Nf	-73Sf	46Avgf
2015:10:24_21h:07m:13s	26N	-67S	46Avg	20nhz	filt:	19Nf	-73Sf	46Avgf
2015:11:03_21h:07m:13s	25N	-64S	44Avg	20nhz	filt:	19Nf	-74Sf	46Avgf
2015:11:13_21h:07m:13s	26N	-75S	51Avg	20nhz	filt:	19Nf	-74Sf	47Avgf
2015:11:23_21h:07m:13s	22N	-74S	48Avg	20nhz	filt:	19Nf	-75Sf	47Avgf
2015:12:03_21h:07m:13s	20N	-84S	52Avg	20nhz	filt:	20Nf	-75Sf	48Avgf
2015:12:13_21h:07m:13s	18N	-89S	53Avg	20nhz	filt:	20Nf	-76Sf	48Avgf

I dati grezzi e filtrati del campo polare del sole

<http://wso.stanford.edu/Polar.html#latest>



L'andamento degli ultimi 4 cicli solari del Campo Polare solare

<http://www.solen.info/solar/polarfields/polar.html>

Enzo

[Attività Solare](#)